

تأثیر تابش پرتو فرابنفش A و B بر خصوصیات مورفوفیزیولوژیکی و آنتی‌اکسیدانی

رزماری (*Rosmarinus officinalis* L.)

سحر پیری‌نژاد^۱، حسن مومیوند^{۲*}، عبدالله احتشام‌نیا^۲، محمدرضا راجی^۳

^۱ دانشجوی کارشناسی ارشد علوم باغبانی، دانشگاه لرستان، ایران

^۲ دانشیار گروه علوم باغبانی، دانشکده کشاورزی، دانشگاه لرستان، ایران

^۳ استادیار گروه علوم باغبانی، دانشکده کشاورزی، دانشگاه لرستان، ایران

تلفن نویسنده مسئول: ۰۹۱۸۳۱۶۸۴۱۵-۰۶۶۳۳۴۳۱۹۱۷

ایمیل: mumivand.h@lu.ac.ir

چکیده

در دهه‌های گذشته در نتیجه فعالیت‌های صنعتی انسان، اثر بازدارندگی لایه اوزون در استراتوسفر که مانع عبور فرابنفش-ب و بخش زیادی از فرابنفش-ب به سطح زمین می‌شد به طور قابل توجهی کاهش یافته است؛ در نتیجه ورود پرتوهای فرابنفش به سطح زمین افزایش یافته است. این امر آسیب‌های جدی را بر موجودات زنده به ویژه گیاهان به همراه دارد. در پژوهش حاضر، اثر تابش پرتو فرابنفش-آ و ب بر برخی از صفات مورفوفیزیولوژیکی و آنتی‌اکسیدان‌های آنزیمی و غیر آنزیمی گیاه رزماری (*Rosmarinus officinalis* L.) مورد بررسی قرار گرفت. این تحقیق در قالب طرح آزمایشی کاملاً تصادفی با سه تکرار اجرا شد. تیمارهای پرتو فرابنفش در سه سطح (شاهد، تابش پرتو فرابنفش-آ و تابش پرتو فرابنفش-ب) در نظر گرفته شد. پرتودهی فرابنفش توسط لامپ‌های ساخت شرکت Q-Lab آمریکا اعمال شد. تیماردهی بصورت روزانه و به مدت ۴ ساعت در طول روز انجام شد. نتایج نشان دارد که تیمار فرابنفش-ب منجر به کاهش وزن خشک برگ، ارتفاع بوته و مقدار کلروفیل *a* و *b* و کل (به ترتیب به میزان ۲۹/۵۷، ۱۳/۴۴، ۱۷/۷، ۳۳/۷۷ و ۲۲/۵۱ درصد) نسبت به شاهد گردید. اما باعث افزایش میزان آنتی‌اکسیدان‌های غیر آنزیمی مانند کاروتنوئید، فنل و فلاونوئید کل، افزایش فعالیت آنتی‌اکسیدان‌های آنزیمی مانند آنزیم‌های پراکسیداز، کاتالاز و آسکوربات پراکسیداز و همچنین میزان پرولین و مالون دی‌آلدید به ترتیب (به میزان ۲۳/۴۵، ۳۷/۵۴، ۴۱/۵۹، ۸۲/۷۵، ۴۱۲/۵، ۱۰۰، ۸۷/۵ و ۳۵۹/۳۲ درصد) نسبت به شاهد شد. میزان کلروفیل *a* و *b* و کل با تیمار فرابنفش-آ کاهش یافت. اما افزایش میزان مالون دی‌آلدید، پرولین و فعالیت آنزیم‌های آنتی‌اکسیدانی کاتالاز و پراکسیداز با تیمار فرابنفش-آ مشاهده گردید. در مجموع، افزایش ترکیبات جاذب فرابنفش مانند فنل، فلاونوئید و کاروتنوئید باعث افزایش ظرفیت آنتی‌اکسیدانی عصاره رزماری تحت تیمار فرابنفش-ب شد در حالی که عملکرد گیاه کاهش یافت. بنابراین می‌توان گفت گیاهان رزماری در معرض تابش فرابنفش-ب از زی‌توده کمتر و خواص بیولوژیک و دارویی بالاتر برخوردار خواهند بود.

واژه‌های کلیدی: فنل، فلاونوئید، مالون‌دی‌آلدید، رنگیزه‌های فتوسنتزی، پرولین

مقدمه

رزماری (*Rosmarinus officinalis* L.) گیاهی چند ساله و بوته‌ای متعلق به خانواده نعناعیان (Lamiaceae) است. این گیاه علفی، پایا، دارای ساقه‌های چوبی به ارتفاع نیم تا یک متر، برگ‌های سبز دائمی و بسیار معطر با آرایش متقابل و

این مقاله نهایی نیست و پس از انتشار تغییراتی خواهد داشت.

کناره برگشته، باریک و دراز است (Banjaw et al., 2016). این گیاه به علت خواص ضد میکروبی، ضد جهش زایی، ضد انقباض، ضد نفخ، و ضد تشنج در صنایع دارویی کاربرد زیادی دارد (Neto et al., 2006). مواد موثره موجود در برگ‌ها و سرشاخه‌های گیاه خواص آنتی‌اکسیدانی قوی داشته و ضد قارچ و ضد باکتری است. در حال حاضر از این گیاه و مواد موثره آن در صنایع آرایشی بهداشتی، عطر و ادکلن، دارویی و غذایی استفاده می‌شود. فعالیت بیولوژیکی این گیاه به طور عمده مربوط به ترکیبات فنولی آن مانند کارنوزول، کارنوزیک اسید و اسید رزمارینیک موجود در عصاره و آلفا-پینن، بورتیل استات، کامفور و اوکالپیتول موجود در اسانس آن می‌باشد. سایر ترکیبات طبیعی موجود در رزماری شامل فلانوئیدها مانند لوتولین، اسیدهای فنولیک، دی و تری ترپن‌ها، تانن‌ها، مواد تلخ، رزین، ساپونین و برخی از متابولیت‌های اولیه نظیر پروتئین‌ها و چربی‌ها هستند (صالحی ساردویی و خلیلی، ۱۳۹۹).

امروزه فعالیت‌های صنعتی بشر باعث افزایش ترکیبات آلوده کننده اتمسفر به خصوص ترکیبات هالوژن دار شده است. این ترکیبات به دلیل پایداری زیاد به سطح استراتوسفر می‌رسند و باعث تخریب لایه اوزون می‌شوند. کاهش لایه اوزون باعث افزایش میزان پرتوهای فرابنفش در سطح زمین شده است و مشکلاتی را برای موجودات زنده به وجود آورده است. پرتوهای فرابنفش حدود ۹ درصد طیف خورشید را شامل می‌شوند و به سه باند فرابنفش-ا (۳۲۰ تا ۴۰۰ نانومتر)، فرابنفش-ب (۲۸۰ تا ۳۲۰ نانومتر) و فرابنفش-ث (۲۰۰ تا ۲۸۰ نانومتر) تقسیم می‌شوند (Mumivand et al., 2021a). در سیستم‌های گیاهی هر یک از این طیف‌ها می‌تواند اثرات بیولوژیکی متفاوتی را القا کند. در بین طیف‌های مختلف پرتو فرابنفش، کاهش ضخامت لایه اوزون بیش‌ترین تأثیر را بر فرابنفش-ب گذاشته است و افزایش فرابنفش-ب در سطح زمین مهم‌ترین نتیجه کاهش ضخامت لایه اوزون است. به دلیل جذب کامل فرابنفش-ث توسط لایه اوزون، معمولاً در نور رسیده به سطح زمین فرابنفش-ث وجود ندارد. فرابنفش-ا هم کم‌خطرترین تشعشعات فرابنفش است که در نور خورشید به میزان زیادی یافت می‌شود و به وسیله لایه اوزون قابل جذب نیست (Hollosoy, 2002). پرتو فرابنفش می‌تواند به عنوان یک عامل تنش‌زا و یا یک عامل تنظیم‌کننده در نظر گرفته شود. این پرتو می‌تواند به طور قابل توجهی رشد و نمو گیاه را تحت تأثیر قرار دهد (Tsurunaga et al., 2013).

در میان موجودات زنده، گیاهان به دلیل احتیاج اجتناب ناپذیر آن‌ها به نور برای انجام فتوسنتز، بیشتر تحت تأثیر پرتوهای فرابنفش قرار می‌گیرند و آسیب‌پذیرتر هستند. گیاهان هنگام مواجهه با پرتو فرابنفش از مکانیسم‌های مختلفی جهت حفاظت از خود استفاده می‌کنند. از مکانیسم‌های سازگاری گیاهان در برابر پرتو فرابنفش می‌توان تولید برگ‌های ضخیم تر و کوچک‌تر، مقدار بیشتر کرک‌ها، تغییر زاویه‌ی برگ‌ها نسبت به پرتو تابشی و افزایش اختصاصات منعکس کننده مانند موم در سطح برگ‌ها را نام برد (قناتی و همکاران، ۱۳۸۵). تغییر در شکل برگ، افزایش شاخه‌های جانبی، کاهش طول میان‌گره‌ها، کاهش بسامد روزنه‌ای و کاهش ارتفاع گیاه از دیگر تغییرات مورفولوژی است که در پاسخ به پرتو فرابنفش در گیاهان نمایان می‌شود. در گیاهان پرتوهای فرابنفش باعث اختلال در عمل کمپلکس تجزیه کننده آب، تخریب فتوسیستم II، پلاستوکوئینون، کاهش فعالیت آنزیم روبیسکو و آنزیم ATP سنتز می‌شود. همچنین با القای بسته شدن روزنه‌ها و تغییر در ضخامت و آناتومی برگ می‌تواند فتوسنتز را تحت تأثیر قرار دهد. تخریب رنگیزه‌های فتوسنتزی توسط پرتوهای فرابنفش نیز از دلایل کاهش میزان فتوسنتز است (Lutz et al., 2005).

از طرف دیگر، فسفولیپیدها و گلیکولیپیدها که از اجزای اصلی غشاهای سلولی هستند در حضور اکسیژن و پرتو فرابنفش تخریب می‌شوند. پرتو فرابنفش باعث تولید رادیکال‌های آزاد اکسیژن مانند اکسیژن منفرد، آنیون سوپراکسید، پراکسید هیدروژن و رادیکال‌های هیدروکسیل در سلول‌ها می‌شود، که این رادیکال‌ها منجر به برهم زدن تعادل متابولیسمی سلول

این مقاله نهایی نیست و پس از انتشار تغییراتی خواهد داشت.

مجله فرایند و کارکرد گیاهی

می‌شوند. برای مقابله با تنش اکسیداتیو ناشی از رادیکال‌های آزاد، در گیاهان سازوکارهای دفاعی آنزیمی و غیرآنزیمی تکامل یافته است (Hollosy, 2002). مکانیسم‌های آنزیمی شامل افزایش فعالیت آنزیم‌های سوپراکسید دیسموتاز، پراکسیداز، کاتالاز، گلوکاتایون ردوکتاز و غیره است. در حفاظت غیرآنزیمی نیز تولید آنتی‌اکسیدان‌های غیرآنزیمی مانند آسکوربیک اسید، کاروتنوئیدها، فلانونوئیدها، آنتوسیانین‌ها و آلکالوئیدها افزایش می‌یابد. افزایش تولید و تجمع این ترکیبات در لایه اپیدرمی جهت دفاع و محافظت در برابر اشعه فرابنفش موثر است (Prasad *et al.*, 2005). با توجه به اهمیت رزماری به عنوان یک گیاه دارویی-زیستی، پژوهش حاضر با هدف بررسی تاثیر تابش پرتو فرابنفش آ و ب بر خصوصیات مورفولوژیکی و فیزیولوژیکی و آن‌تی‌اکسیدان‌های آنزیمی و غیر آنزیمی رزماری انجام گرفت.

مواد و روش‌ها

کاشت گیاهان و اعمال تیمارها: این مطالعه به صورت آزمایشی گلدانی در گلخانه‌های آموزشی و تحقیقاتی دانشکده کشاورزی دانشگاه لرستان در سال ۱۴۰۰ انجام شد. طول و عرض جغرافیایی منطقه به ترتیب ۴۸/۲۶ درجه شرقی و ۳۳/۴۳ درجه شمالی و ارتفاع از سطح دریا ۱۱۷۰ متر است. نشاءهای رزماری از شرکت زرین گیاه ارومیه تهیه و به گلدان‌های پنج لیتری منتقل شدند. این گلدان‌ها به وسیله مخلوطی از خاک، کود دامی پوسیده و ماسه به نسبت مساوی ۱:۱:۱ پر شده بودند. به منظور رعایت یکنواختی مواد آزمایشی در تیمارها و تکرارهای مختلف سعی شد نشاءهای انتخاب شده از نظر اندازه تا حد امکان مشابه باشند. این مطالعه در قالب طرح کاملاً تصادفی با سه تکرار (۲۰ گلدان در هر تکرار) اجرا شد. تیمارهای پرتو فرابنفش در سه سطح (شاهد، تابش پرتو فرابنفش-آ و تابش پرتو فرابنفش-ب) در نظر گرفته شد.

حدود یک ماه پس از انتقال نشاءها به گلدان اصلی، گیاهان بسته به نوع تیمار آزمایشی در معرض تابش پرتو ماورابنفش آ و یا ب قرار گرفتند. برای اعمال تیمارهای پرتو فرابنفش، پایه‌های فلزی با ارتفاع ۸۰ سانتی‌متر از سطح زمین آماده شد و لامپ‌های فرابنفش آ و ب (ساخت شرکت Q-lab آمریکا) روی پایه‌ها قرار گرفتند (فاصله لامپ‌ها تا گیاهان برابر با ۵۰ سانتی‌متر بود). لامپ‌های ۴۰ واتی مورد استفاده در این مطالعه باند پهن بوده و بیش‌ترین تطبیق را با فرابنفش-ب (در لامپ‌های فرابنفش-ب) و فرابنفش-آ (در لامپ‌های فرابنفش-آ) دریافتی از خورشید در سطح زمین داشتند، بنابراین بهترین شبیه‌سازی ممکن را فراهم می‌کردند. پیک تابشی لامپ‌های فرابنفش-ب برابر ۳۱۳ نانومتر و پیک تابشی لامپ‌های فرابنفش-آ برابر با ۳۵۱ نانومتر بود.

تیماردهی بصورت روزانه و به مدت ۴ ساعت در طول روز (از ساعت ۱۱ تا ۱۵) انجام شد. بدین منظور از یک تایمر الکتریکی با هدف تنظیم زمان روشن و خاموش شدن لامپ‌ها استفاده شد. به منظور ایجاد فضای ایزوله و با هدف جلوگیری از تداخل تاثیر تیمارهای مختلف، فاصله بین تیمارها با استفاده از یونولیت پوشانده شد. با توجه به تغییر ارتفاع گیاهان در طول دوره‌ی رشد و به منظور تیمار یکسان پرتوی فرابنفش در طول انجام آزمایش، ارتفاع پایه‌های نگهدارنده لامپ‌های تامین کننده پرتوی فرابنفش با گذشت زمان افزایش یافت. اعمال تیمار فرابنفش به مدت سه هفته صورت گرفت.

نمونه‌گیری و ارزیابی صفات مورفولوژی: یک ماه پس از اعمال تیمارهای فرابنفش نمونه‌گیری از آخرین برگ‌های توسعه یافته گیاهان برای صفات فیزیولوژیکی و بیوشیمیایی شامل کلروفیل *a*، کلروفیل *b*، کلروفیل کل، کاروتنوئید، مالون دی‌آلدئید، نشأت الکترولیتی، فعالیت آنزیم‌های پراکسیداز، کاتالاز، آسکوربات پراکسیداز، پرولین، فنل کل،

این مقاله نهایی نیست و پس از انتشار تغییراتی خواهد داشت.

مجله فرایند و کارکرد گیاهی

فلاونوئید کل و فعالیت آنتی‌اکسیدانی عصاره انجام گرفت (Mumivand *et al.*, 2022). نمونه‌ها پس از منجمد شدن در ازت مایع تا زمان اندازه‌گیری در فریزر (۸۰- درجه سانتی‌گراد) نگهداری شدند. در ادامه تعداد پنج بوته از هر تیمار به صورت تصادفی انتخاب شد و صفات مورفولوژی شامل ارتفاع بوته، قطر طوقه، طول برگ و عرض برگ در آن‌ها اندازه‌گیری شد. بعد از آن گیاهان انتخابی برداشت شدند و وزن تر بخش هوایی آن‌ها اندازه‌گیری شد. سپس نمونه‌های گیاهی در آون به مدت ۴۸ ساعت با دمای ۵۰ درجه سانتی‌گراد خشک و وزن خشک آن‌ها ثبت گردید. پس از جدا کردن برگ از ساقه، وزن خشک برگ نیز اندازه‌گیری شد.

رنگیزه‌های فتوسنتزی: میزان کلروفیل و کارتنوئید برگ به روش Lichtenthaler (۱۹۸۷) اندازه‌گیری شد. ابتدا ۰/۱ گرم برگ در هاون چینی با ازت مایع کاملاً ساییده شد. پس از اضافه کردن ۱۰ میلی‌لیتر استون به نمونه‌ها، عصاره بدست آمده به مدت ۱۵ دقیقه با سرعت ۴۰۰۰ دور در دقیقه سانتریفیوژ گردید. جذب محلول رویی با استفاده از دستگاه اسپکتروفتومتر در طول موج‌های ۶۶۲، ۶۷۰ و ۶۴۵ نانومتر قرائت شد.

پرولین: به منظور اندازه‌گیری محتوای پرولین برگ از روش Bates (۱۹۷۳) استفاده شد. به نمونه‌های گیاهی خرد شده با نیتروژن مایع میزان ۱۰ میلی‌لیتر اسید سولفوسالیسیلیک اضافه شد. پس از صاف کردن محلول و سانتریفیوژ، دو میلی‌لیتر از روشناور جدا شد و به ترتیب به آن دو میلی‌لیتر ناین هیدرین و دو میلی‌لیتر اسید استیک خالص اضافه گردید. پس از انکوبه کردن نمونه‌ها در حمام آب گرم با دمای ۱۰۰ درجه سانتی‌گراد، چهار میلی‌لیتر تولوئن به هر یک از لوله‌های آزمایش اضافه شد. جذب روشناور با استفاده از دستگاه اسپکتروفتومتر در طول موج ۵۲۰ نانومتر قرائت شد.

کاتالاز: فعالیت آنزیم کاتالاز به روش Chance و Maehly (۱۹۵۵) اندازه‌گیری شد. به ۰/۳ گرم از نمونه برگ خرد شده با نیتروژن مایع، ۱۵۰۰ میکرولیتر بافر فسفات پتاسیم حاوی EDTA و PVP اضافه شد. پس از سانتریفیوژ نمونه‌ها به مدت ۲۰ دقیقه با سرعت ۱۴۰۰۰ دور، تغییرات جذب نور به فواصل ۱۰ ثانیه، به مدت دو دقیقه، در دمای ۲۵ درجه سانتی‌گراد با ۴۰۰ میکرولیتر بافر و ۳۰۰ میکرولیتر آب اکسیژنه و ۳۰ میکرولیتر از روشناور در طول موج ۲۴۰ نانومتر با دستگاه اسپکتروفتومتر قرائت گردید. فعالیت آنزیم کاتالاز بر حسب میکرو مول در دقیقه بر گرم وزن تر محاسبه شد.

پراکسیداز: سنجش فعالیت آنزیم پراکسیداز نیز به روش Mac-Adam و همکاران (۱۹۹۲) صورت گرفت. به ۰/۳ گرم نمونه برگ پودر شده با نیتروژن مایع، ۱/۵ میلی‌لیتر بافر فسفات پتاسیم اضافه گردید. سوسپانسیون حاصل در دستگاه سانتریفیوژ به مدت ۲۰ دقیقه با سرعت ۱۴۰۰۰ دور در دقیقه قرار گرفت. تغییرات جذب نور به فواصل ۱۰ ثانیه، به مدت دو دقیقه، در دمای ۲۵ درجه سانتی‌گراد در طول موج ۴۷۵ نانومتر با دستگاه اسپکتروفتومتر قرائت شد.

آسکوربات پراکسیداز: فعالیت آنزیم آسکوربات پراکسیداز با استفاده از روش Asada و Nakano (۱۹۸۱) محاسبه گردید. ابتدا مقدار ۰/۱ گرم از برگ پودر شده با نیتروژن مایع به یک میلی‌لیتر بافر فسفات سدیم با غلظت ۵۰ میلی‌مولار (pH=7) اضافه شد. سوسپانسیون حاصل به مدت ۲۰ دقیقه با ۱۴۰۰۰ دور در دقیقه سانتریفیوژ شد. سپس ۱۵۰۰ میکرولیتر بافر استخراج بدون اسید آسکوربیک و ۳۰۰ میکرو لیتر بافر محتوی اسید آسکوربیک و سه میکرولیتر آب اکسیژنه با ۵۰ میکرولیتر از روشناور داخل کووت ریخته شد. تغییرات جذب نوری نمونه‌ها در طول موج ۲۹۰ نانومتر هر ۱۰ ثانیه و به مدت ۱۲۰ ثانیه با دستگاه اسپکتروفتومتر قرائت شد.

مالون‌دی‌آلدهید: میزان مالون دی‌آلدهید بر اساس روش Wang و همکاران (۲۰۰۹) اندازه‌گیری شد. بدین منظور یک گرم از برگ گیاه خرد شده با ۵ میلی‌لیتر محلول تیوباریتوریک اسید نیم درصد حل شده در تری کلرو استیک اسید

این مقاله نهایی نیست و پس از انتشار تغییراتی خواهد داشت.

مجله فرایند و کارکرد گیاهی

۲۰ درصد مخلوط گردید. سپس مخلوط حاصل به منظور انجام واکنش به مدت ۱۵ دقیقه در حمام آب گرم با دمای ۱۰۰ درجه سانتی‌گراد قرار گرفت. مخلوط به مدت ۱۰ دقیقه در ۴۰۰۰ دور در دقیقه سانتریفیوژ گردید. میزان جذب روشناور در سه طول موج ۴۵۰، ۵۳۲ و ۶۰۰ نانومتر با استفاده از دستگاه اسپکتروفتومتر قرائت شد.

نشت الکترولیتی: میزان ۰/۰۵ گرم از نمونه‌های برگی داخل آب مقطر گذاشته شده و به مدت ۲۴ ساعت در دمای اتاق قرار گرفت. سپس هدایت الکتریکی اولیه (EC_1) آن اندازه‌گیری شد. در مرحله بعد نمونه‌ها در اتوکلاو در دمای ۲۰ درجه سانتی‌گراد به مدت ۲۰ دقیقه قرار گرفته و هدایت الکتریکی ثانویه (EC_2) اندازه‌گیری شد. در نهایت نشت الکترولیتی برگ (EL) از طریق رابطه زیر محاسبه شد (Lutts و همکاران، ۱۹۹۶):

$$EL (\%) = (EC_1 / EC_2) \times 100$$

فنل کل: مقدار یک گرم برگ خشک در فالكون‌های ۱۵ میلی‌لیتری حاوی ۱۰ سی‌سی متانول ۸۰ درصد به مدت ۴۸ ساعت قرار گرفت. ۰/۵ میلی‌لیتر از معرف سیوکالتیو با چهار میلی‌لیتر از محلول Na_2CO_3 یک مولار مخلوط گردید. سپس ۰/۵ میلی‌لیتر از محلول عصاره گیاهی به مخلوط اضافه شد و به مدت ۱۵ دقیقه در دمای اتاق قرار داده شد. پس از این مدت جذب نمونه‌ها توسط دستگاه اسپکتروفتومتر در طول موج ۷۶۵ نانومتر اندازه‌گیری شد (Mc-Donald *et al.*, 2001).

فلاونوئید کل: به ۵۰ میکرولیتر از عصاره گیاهی، ۴۰۰ میکرولیتر محلول کلرید آلومینیوم دو درصد اضافه کرده، سپس ۱۲۰۰ میکرولیتر محلول استات پتاسیم پنج درصد به آن اضافه شد. پس از ۴۰ دقیقه نگهداری در دمای اتاق، جذب نمونه‌ها توسط دستگاه اسپکتروفتومتر در طول موج ۴۱۵ نانومتر قرائت شد (Quetter- Deleu, 2000).

فعالیت آنتی‌اکسیدانی به روش FRAP: معرف FRAP شامل ۲/۵ میلی‌لیتر از محلول TPTZ ۱۰ میلی‌مولار در اسید هیدورکلریک ۴۰ میلی‌مولار به اضافه ۲/۵ میلی‌لیتر از کلرید آهن ($FeCl_3 \cdot 6H_2O$) ۲۰ میلی‌مولار و ۲۵ میلی‌لیتر بافر استات ۳۰۰ میلی‌مولار با $PH=3/6$ تهیه شد. سپس ۲۸۵۰ میکرولیتر معرف FRAP تازه تهیه شده با ۱۵۰ میکرو لیتر عصاره مخلوط و ورتکس شد. بعد از ۱۵ دقیقه نگهداری در دمای آزمایشگاه جذب در ۵۹۳ نانومتر قرائت شد و فعالیت آنتی‌اکسیدانی بر حسب میلی‌مولار $FeSO_4 \cdot 7H_2O$ بیان شد (Benzie and Strain, 1996).

تجزیه و تحلیل داده‌ها: در انتها، تجزیه واریانس داده‌ها بر اساس طرح آزمایشی مورد مطالعه با استفاده از نرم افزار 9.4 SAS صورت گرفت و مقایسه میانگین تیمارها نیز با آزمون حداقل تفاوت معنی‌دار (LSD^۱) در سطح پنج درصد انجام شد.

نتایج و بحث

صفات مورفولوژی و زیست‌توده گیاهی

نتایج تجزیه واریانس صفات مورفولوژی و زیست‌توده گیاهی (جدول ۱) نشان داد که اثر تابش پرتو فرابنفش تنها در مورد صفات ارتفاع بوته و وزن خشک برگ معنی‌دار شد. نتایج مقایسه میانگین نیز نشان داد که تابش پرتو فرابنفش-ب باعث کاهش ارتفاع بوته در مقایسه با تیمار شاهد شد. به نحوی که کمترین ارتفاع بوته (۱۳/۶۵ سانتی‌متر) در تیمار فرابنفش-ب مشاهده شد. با این حال تیمار فرابنفش-آ تأثیر معنی‌داری بر ارتفاع بوته نداشت. تیمار فرابنفش-ب باعث

^۱ Least significant difference

این مقاله نهایی نیست و پس از انتشار تغییراتی خواهد داشت.

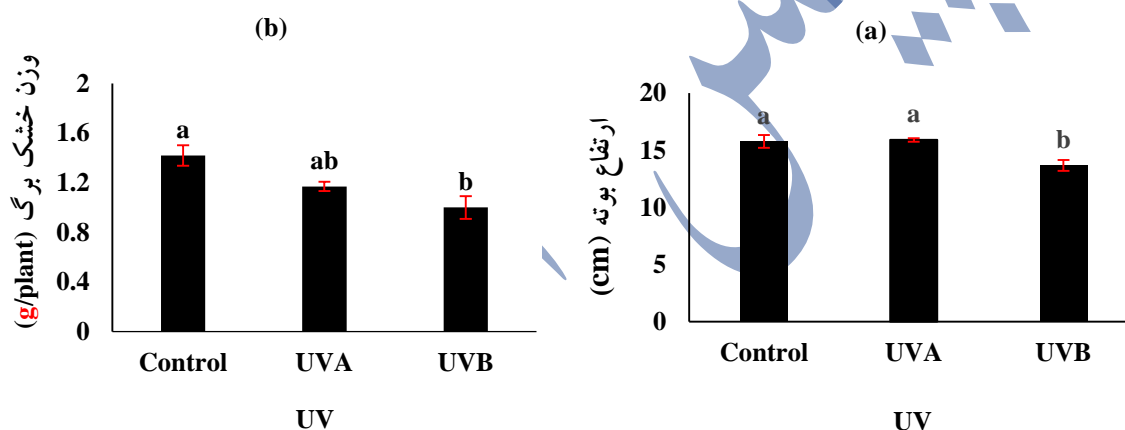
مجله فرایند و کارکرد گیاهی

کاهش وزن خشک برگ نسبت به تیمار شاهد شد، در حالی که فرابنفش-آ تاثیر معنی داری بر وزن خشک برگ نداشت. در مجموع بیشترین وزن خشک برگ در تیمار شاهد (۱/۴۲ گرم بر بوته) بدست آمد (شکل ۱).

جدول ۱- تجزیه واریانس اثر پرتو فرابنفش آ و ب بر برخی صفات مورفولوژی و زیست توده گیاهی

منابع تغییرات	درجه آزادی	ارتفاع بوته	طول برگ	عرض برگ	قطر طوقه	وزن تر بوته	وزن خشک بوته	وزن خشک برگ
فرابنفش	۲	۴/۷۵*	۰/۰۱۶ ^{ns}	۰/۲۶ ^{ns}	۰/۰۸۵ ^{ns}	۰/۱۸ ^{ns}	۰/۳۹ ^{ns}	۰/۱۳*
خطا	۶	۰/۸۳	۰/۱۵	۰/۲۵	۰/۳۸	۰/۳۳	۰/۱۴	۰/۰۲۵
ضریب تغییرات		۶/۰۵	۱۰/۸۹	۱۲/۱۶	۲۳/۲۲	۱۲/۰۱	۱۷/۸۹	۱۳/۲۷

***، * و ns: به ترتیب نشان دهنده معنی داری در سطح ۱٪، ۵٪ و عدم معنی داری هستند.



شکل ۱- اثر تابش پرتو فرابنفش آ و ب بر (a) ارتفاع بوته و (b) وزن خشک برگ رزماری (میانگین های دارای حروف

مشابه، براساس آزمون LSD در سطح احتمال ۵ درصد اختلاف معنی داری ندارند)

نتایج حاصل از این پژوهش نشان دهنده آن است که صفات مورفولوژی و زیست توده گیاهی رزماری تحت تاثیر پرتو فرابنفش آ قرار نگرفت. پاسخ گیاهان به پرتو فرابنفش-آ متفاوت و مطالعات موجود اغلب حاوی اطلاعات متناقضی است (Verdaguer, 2017). تعدادی از مطالعات گزارش کرده اند که پرتو فرابنفش-آ باعث تسريع رشد و تغيير در مورفولوژی گیاهان می شود. برخلاف این برخی دیگر از مطالعات هیچ گونه پاسخ معنی داری یا اثرات منفی (به عنوان مثال جلوگیری از تجمع زی توده یا گسترش برگ) تحت تابش پرتو فرابنفش-آ گزارش نکرده اند. در تطابق با نتایج تحقیق حاضر، Maffei و همکاران (۱۹۹۹) نشان دادند که گیاهان نعنای فلفلی تابش دهی شده با فرابنفش-آ به همراه نور مرئی، تفاوت قابل ملاحظه ای از نظر ارتفاع بوته و سطح برگ نسبت به شاهد نشان ندادند. تیمار فرابنفش-آ هیچ تأثیری بر ارتفاع بوته، عرض برگ، وزن خشک برگ، وزن خشک گل، تعداد گل و عملکرد گل سه رقم گل گندم (*Centaurea cyanus*) نداشت (رستگار و همکاران، ۱۳۹۹). بر خلاف این تابش پرتوهای فرابنفش آ و ب باعث

این مقاله نهایی نیست و پس از انتشار تغییراتی خواهد داشت.

مجله فرایند و کارکرد گیاهی

کاهش سطح برگ شاهدانه شد. این محققان عنوان کردند که گیاه شاهدانه به پرتو فرابنفش حساس بود و این حساسیت به پرتو فرابنفش-ث بیش از پرتو فرابنفش-آ بود (قندالی و همکاران، ۱۳۸۹). در پژوهش شاهبداغلو و همکاران (۱۳۹۴) نیز اثر کاهشی پرتو فرابنفش-آ بر رشد و عملکرد آرتیشو گزارش شده است. با این حال نتایج مطالعه Shayganfar و همکاران (۲۰۱۸) نشان داد که تابش پرتو فرابنفش-آ باعث افزایش ارتفاع آویشن دنیایی و آویشن باغی شد. در این مطالعه پرتو فرابنفش-آ تأثیری بر ارتفاع آویشن قره باغی نداشت، اما طول میانگره این گونه را به صورت معنی داری کاهش داد. این محققان پاسخ متفاوت گونه‌های مختلف آویشن به پرتو فرابنفش را به تفاوت در خصوصیات ژنتیکی گونه‌ها و شرایط اقلیمی خاستگاه آن‌ها نسبت دادند. به طور کلی می‌توان گفت که پاسخ گیاهان به تابش پرتوی فرابنفش-آ کاملاً مشخص نیست و بسته به نوع گونه گیاهی و شرایط اقلیمی محل آزمایش (به‌ویژه شدت نور) واکنش به فرابنفش-آ متفاوت است. در مطالعه حاضر اثر تابش پرتو فرابنفش-ب بر صفات مورفولوژی و زی‌توده رزماری محدود به ارتفاع بوته و وزن خشک برگ بود و هیچ تأثیر معنی داری در سایر صفات مورد ارزیابی در مقایسه با شاهد نداشت. در مطالعات زیادی گزارش شده است که پرتوی فرابنفش-ب باعث کاهش رشد و زی‌توده گیاه می‌گردد. تابش پرتوی فرابنفش-ب باعث کاهش ارتفاع گیاه در آویشن باغی و آویشن دنیایی شد که با نتایج حاصل از پژوهش ما مطابقت داشت (ساریخانی، ۱۳۹۲). در پژوهش حاجی پور و همکاران (۱۳۹۹) مشاهده شد که تابش فرابنفش-ب و تابش همزمان فرابنفش-آ و ب منجر به کاهش رشد و نمو و عملکرد شنبلله شد. بر خلاف این پرتو فرابنفش-آ باعث بهبود عملکرد و صفات مورفولوژی گیاه گردید. همچنین جدیدی و همکاران (۱۴۰۱) در پژوهشی روی شمعدانی عطری نشان دادند که تیمار فرابنفش-ب باعث کاهش رشد طولی شمعدانی عطری، ایجاد حالت فشرده و متراکم در بوته و کاهش وزن خشک برگ (به عنوان اندام دارویی مصرفی) می‌گردد. در حالی که در تیمار فرابنفش-آ همانند تیمار فرابنفش محیط، گیاهان از برگ‌ها و شاخه‌های بلندتر و کشیده‌تری برخوردار بودند و هیچ کاهشی در وزن خشک گیاه با تیمار فرابنفش-آ مشاهده نگردید. تیمار پرتو فرابنفش-ب و کاربرد همزمان فرابنفش-آ و ب منجر به کاهش رشد و نمو گل گندم شد، اما تأثیر منفی معنی داری بر عملکرد گل خشک (به‌عنوان اندام دارویی اصلی گل گندم) نداشت (رستگار و همکاران، ۱۳۹۹). پرتو فرابنفش-ب به طور مستقیم سبب کاهش فعالیت آنزیم روبیسکو و تثبیت کربن و کاهش تولید ماده خشک و نشاسته، و به‌طور غیرمستقیم باعث بسته شدن روزنه‌ها، تغییر ضخامت برگ و کاهش سطح کانوپی می‌شود که این موضوع می‌تواند باعث کاهش رشد گیاهان شده و از این طریق در نهایت منجر به کاهش عملکرد و وزن تر و خشک گیاه گردد (Krizek et al., 1997). ارتفاع گیاه با افزایش میزان پرتو فرابنفش-ب به‌طور معنی داری کاهش می‌یابد که گفته می‌شود به واسطه تخریب تنظیم کننده‌های رشد مانند اسید ایندول استیک و تشکیل ترکیبات بازدارنده رشد در اثر تابش فرابنفش است. احتمالاً تابش پرتو فرابنفش-ب باعث کاهش تقسیم سلولی، طولی شدن سلول‌ها و کاهش تعداد سلول‌های در حال میتوز می‌گردد؛ از طرفی زمان تقسیم سلولی را نیز کاهش می‌دهد. بنابراین سلول‌ها فرصت کافی را برای تقسیم و گسترش سلولی پیدا نمی‌کنند. شاید این موضوع به‌خاطر محدود کردن اسید ایندول استیک به عنوان یک تنظیم کننده رشد کلیدی در گیاهان باشد؛ در نتیجه کاهش رشد و ارتفاع گیاه را به دنبال دارد (ساریخانی، ۱۳۹۲).

این مقاله نهایی نیست و پس از انتشار تغییراتی خواهد داشت.

صفات فیزیولوژی و بیوشیمیایی

نتایج تجزیه واریانس صفات فیزیولوژی و بیوشیمیایی نشان دهنده آن بود که اثر پرتو فرابنفش بر میزان مالون دی آلدئید، کلروفیل *a*، کلروفیل *b*، کلروفیل کل، کاروتنوئید، پرولین، پراکسیداز، کاتالاز، آسکوربات پراکسیداز، فنل کل، فلاونوئید کل و فعالیت آنتی اکسیدانی عصاره رزماری معنی دار شد (جدول ۲).

جدول ۲- تجزیه واریانس اثر پرتو فرابنفش آ و ب بر برخی صفات فیزیولوژی و بیوشیمیایی

منابع تغییرات	درجه آزادی	نشت الکترولیتی	مالون دی آلدئید	کلروفیل <i>a</i>	کلروفیل <i>b</i>	کلروفیل کل	کاروتنوئید	پرولین
فرابنفش	۲	۵۸/۱۹ ^{ns}	۳/۳۵ ^{**}	۵/۴۶ ^{**}	۳/۱۱ ^{**}	۱۶/۵۷ ^{**}	۱/۲۸ ^{**}	۰/۰۰۰۳ ^{**}
خطا	۶	۲۴/۰۴	۰/۰۰۳	۰/۴۶	۰/۲۲	۰/۷۱	۰/۰۹۱	۰/۰۰۰۰۰۷
ضریب تغییرات		۱۹/۶۹	۳/۴۵	۵/۴۲	۹/۵۲	۴/۸۷	۷/۸۱	۷/۶۰

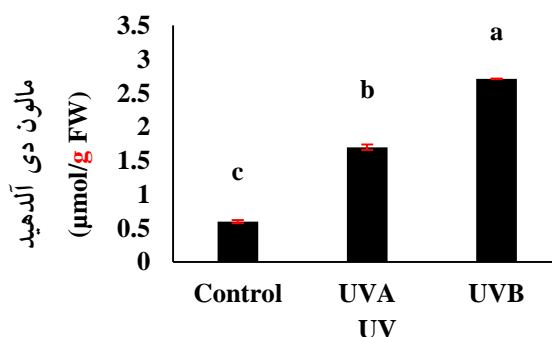
***، * و ns: به ترتیب نشان دهنده معنی داری در سطح ۱٪، ۵٪ و عدم معنی داری هستند.

ادامه جدول ۲- تجزیه واریانس اثر پرتو فرابنفش آ و ب بر برخی صفات فیزیولوژی و بیوشیمیایی

منابع تغییرات	درجه آزادی	کاتالاز	پراکسیداز	آسکوربات پراکسیداز	فنل کل	فلاونوئید	فعالیت آنتی اکسیدانی
فرابنفش	۲	۰/۰۰۰۸ ^{**}	۰/۰۰۰۴ ^{**}	۰/۰۴۱ ^{**}	۳۴۴/۲۶ ^{**}	۴۸/۵۹ ^{**}	۱۳۸۹۴۵/۳۳ ^{**}
خطا	۶	۰/۰۰۰۰۲	۰/۰۰۰۰۳	۰/۰۰۰۰۷	۱۴/۱۹	۲/۷۳	۳۴۴۷/۸۸
ضریب تغییرات		۱۶/۶۹	۱۳/۹۴	۸/۵۲	۷/۹۲	۷/۲۱	۴/۸۵

***، * و ns: به ترتیب نشان دهنده معنی داری در سطح ۱٪، ۵٪ و عدم معنی داری هستند.

پراکسیداسیون لیپیدهای غشاء (MDA): نتایج مقایسه میانگین نشان داد که تابش فرابنفش-آ و فرابنفش-ب باعث افزایش میزان مالون دی آلدئید شد. بیشترین میزان مالون دی آلدئید در تیمار فرابنفش-ب (۲/۷۱ میکرومول بر گرم وزن تر) و پس از آن در فرابنفش-آ (۱/۶۹ میکرومول بر گرم وزن تر) مشاهده گردید (شکل ۲).



شکل ۲- اثر تابش پرتو فرابنفش آ و ب بر محتوای مالون دی آلدئید رزماری (میانگین‌های دارای حروف مشابه، براساس آزمون

LSD در سطح احتمال ۵ درصد اختلاف معنی داری ندارند)

این مقاله نهایی نیست و پس از انتشار تغییراتی خواهد داشت.

مجله فرایند و کارکرد گیاهی

یکی از مواردی که نشان دهنده آسیب گونه‌های فعال اکسیژن است پراکسیداسیون لیپیدهای غشاهای زیستی است. تولید مالون‌دی‌آلدئید به‌عنوان محصول پراکسیداسیون لیپیدی در چنین شرایطی افزایش می‌یابد (رستگار و همکاران، ۱۳۹۹). مالون‌دی‌آلدئید یکی از محصولات سمی حاصل از تخریب غشاهای زیستی است که به‌عنوان یک نشانگر زیستی حاصل از تخریب غشاها به‌طور وسیع برای بررسی مقاومت به تنش‌ها استفاده شده است. افزایش معنی‌دار پراکسیداسیون غشاهای سلولی در برگ بر اثر تابش فرابنفش می‌تواند به دلیل افزایش تولید رادیکال‌های آزاد اکسیژن در شرایط تنش باشد که سبب واکنش آن‌ها با اسیدهای چرب غشاهای سلولی و اکسیداسیون آن‌ها می‌گردد (Han et al., 2013). آسیب به غشاهای زیستی در نتیجه تنش‌های محیطی با افزایش مقدار مالون‌دی‌آلدئید همراه است که می‌تواند با افزایش میزان H_2O_2 ارتباط مستقیم داشته باشد (Posmyk et al., 2008).

در مطالعه حاضر تابش پرتو فرابنفش (به ویژه فرابنفش-ب) باعث افزایش میزان مالون‌دی‌آلدئید شد. افزایش مالون‌دی‌آلدئید در دانه‌های برنج (*Oryza sativa L.*) تحت تابش پرتو فرابنفش گزارش شده است که با مطالعه حاضر مطابقت دارد (ShaoShan et al., 2000). در مطالعه Shayganfar و همکاران (۲۰۱۸) در آویشن و رستگار و همکاران (۱۳۹۹) در گل‌گندم نیز تیمار فرابنفش-ب منجر به افزایش مالون‌دی‌آلدئید گردید. در حالی که فرابنفش-آ هیچ تاثیری بر این صفات نداشت. نتایج حاصل از مطالعات Wang و همکاران (۲۰۰۹) نیز نشان می‌دهد که تنش اکسایشی ایجاد شده توسط تابش فرابنفش میزان مالون‌دی‌آلدئید را افزایش داده است. در تحقیقات متعدد به کم‌خطر بودن پرتو فرابنفش-آ اشاره شده است و حتی اشاره شده است که فرابنفش-آ می‌تواند سبب انواع واکنش‌های رشدی در گیاه شود (Hollosy, 2002). با این وجود در این مطالعه تیمار فرابنفش-آ باعث افزایش میزان مالون‌دی‌آلدئید نسبت به گیاهان شاهد گردید؛ این موضوع احتمالاً ناشی از حساسیت بیشتر رزماری به پرتو فرابنفش در مقایسه با گیاهانی مانند آویشن و گل‌گندم است.

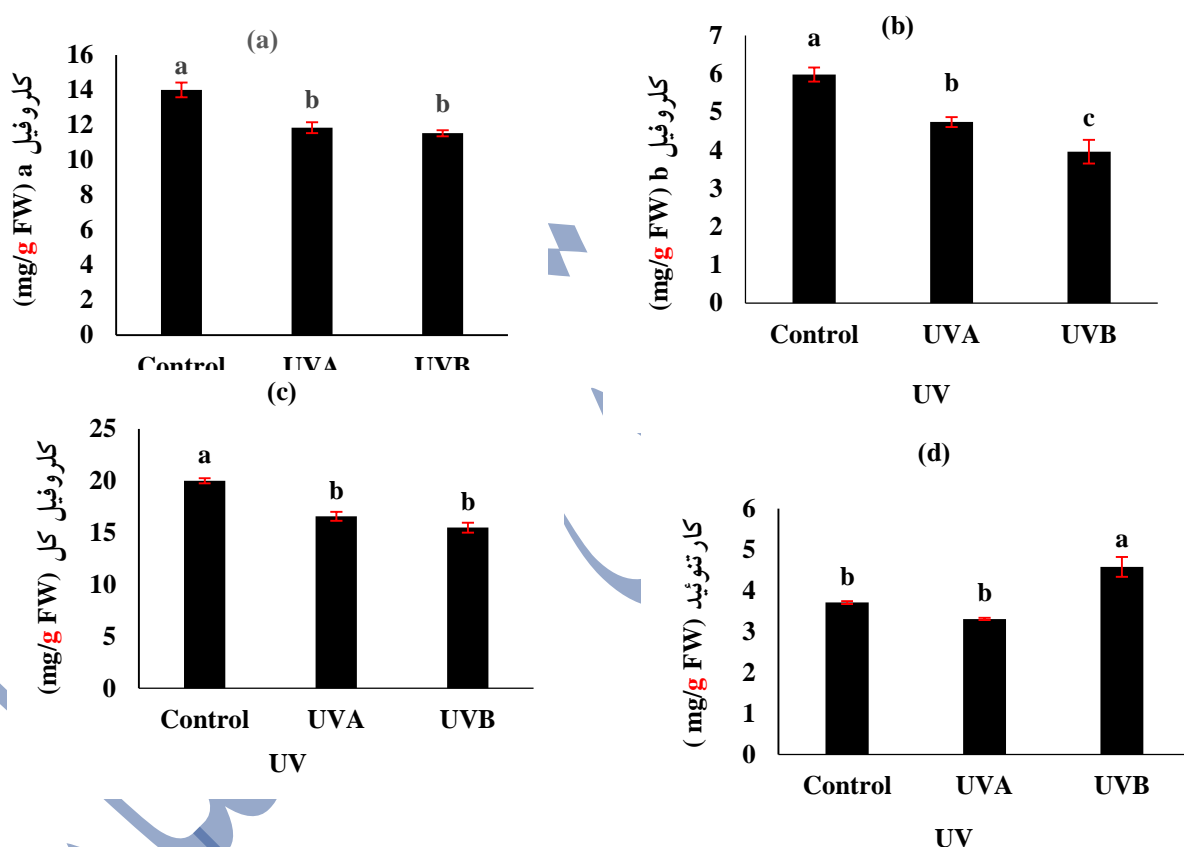
رنگیزه‌های فتوسنتزی: میزان کلروفیل-آ، کلروفیل-ب و کلروفیل کل نیز با تیمار فرابنفش-آ و با شدت بیشتر با تیمار فرابنفش-ب کاهش معنی‌داری نشان داد. بیشترین مقدار کلروفیل-آ، کلروفیل-ب و کلروفیل کل (به ترتیب ۱۴/۰۱، ۵/۹۸ و ۱۹/۹۹ میلی‌گرم بر گرم برگ تازه) در تیمار شاهد بدست آمد، در حالی که کمترین مقادیر مربوط به فرابنفش-ب بود. برخلاف این محتوای کاروتنوئید با تیمار فرابنفش-ب در مقایسه با تیمار شاهد به میزان ۲۳/۴۵ درصد افزایش پیدا کرد. بیشترین میزان کاروتنوئید (۴/۵۸ میلی‌گرم بر گرم وزن تر) در تیمار فرابنفش-ب مشاهده شد (شکل ۳).

بررسی کارایی کاروتنوئیدها در حمایت از فتوسیستم‌ها و رنگیزه‌های فتوسنتزی تحت تابش فرابنفش نشان داده است که کاروتنوئیدها می‌توانند انرژی زیاد طول موج‌های کوتاه را گرفته و اکسیژن منفرد را به اکسیژن سه تایی تبدیل کنند و با گرفتن رادیکال‌های اکسیژن تولید شده نقش پاد اکسایشی خود را بروز دهند (Chaki et al., 2020). در گزارش کوماری و همکاران در گیاه علف لیمو (*Cymbopogon citrates*) عنوان شد که میزان کاروتنوئیدها تحت پرتو فرابنفش-ب در ابتدا افزایش یافت؛ اما با گذشت زمان میزان این ترکیبات رو به کاهش گذاشت. این کاهش احتمالاً به دلیل ممانعت از سنتز یا به‌علت تخریب رنگدانه‌ها در نتیجه‌ی تماس طولانی بود. در این مطالعه دوزهای بالای پرتو فرابنفش-ب باعث کاهش ۱۷/۱ درصدی زیست توده گیاهی شد (Kumari et al., 2010). با این حال مشخص شده است که افزایش کاروتنوئیدها در برخی گونه‌های گیاهی یک پاسخ سازشی برای کاهش اثرات پرتو فرابنفش است، زیرا کاروتنوئیدها سبب پراکنده شدن انرژی برانگیخته شده از طریق چرخه گزانتوفیل شده و باعث حفاظت دستگاه فتوسنتزی می‌شوند. نتایج به دست آمده از مطالعه روی گیاه پنیرباد (*Withania somnifera*) نشان داد که کاروتنوئیدها تحت پرتو فرابنفش-

این مقاله نهایی نیست و پس از انتشار تغییراتی خواهد داشت.

مجله فرایند و کارکرد گیاهی

ب افزایش می‌یابند. در مطالعه حاجی پور و همکاران (۱۳۹۹) نیز میزان کاروتنوئید تحت پرتو فرابنفش-ب افزایش یافت. تابش پرتو فرابنفش-ب باعث کاهش مقدار کلروفیل برگ (*a* و *b* کل) و افزایش رنگیزه کاروتنوئید در سه گونه گل گندم شد که با نتایج مطالعه حاضر همخوانی دارد (رستگار و همکاران، ۱۳۹۹).

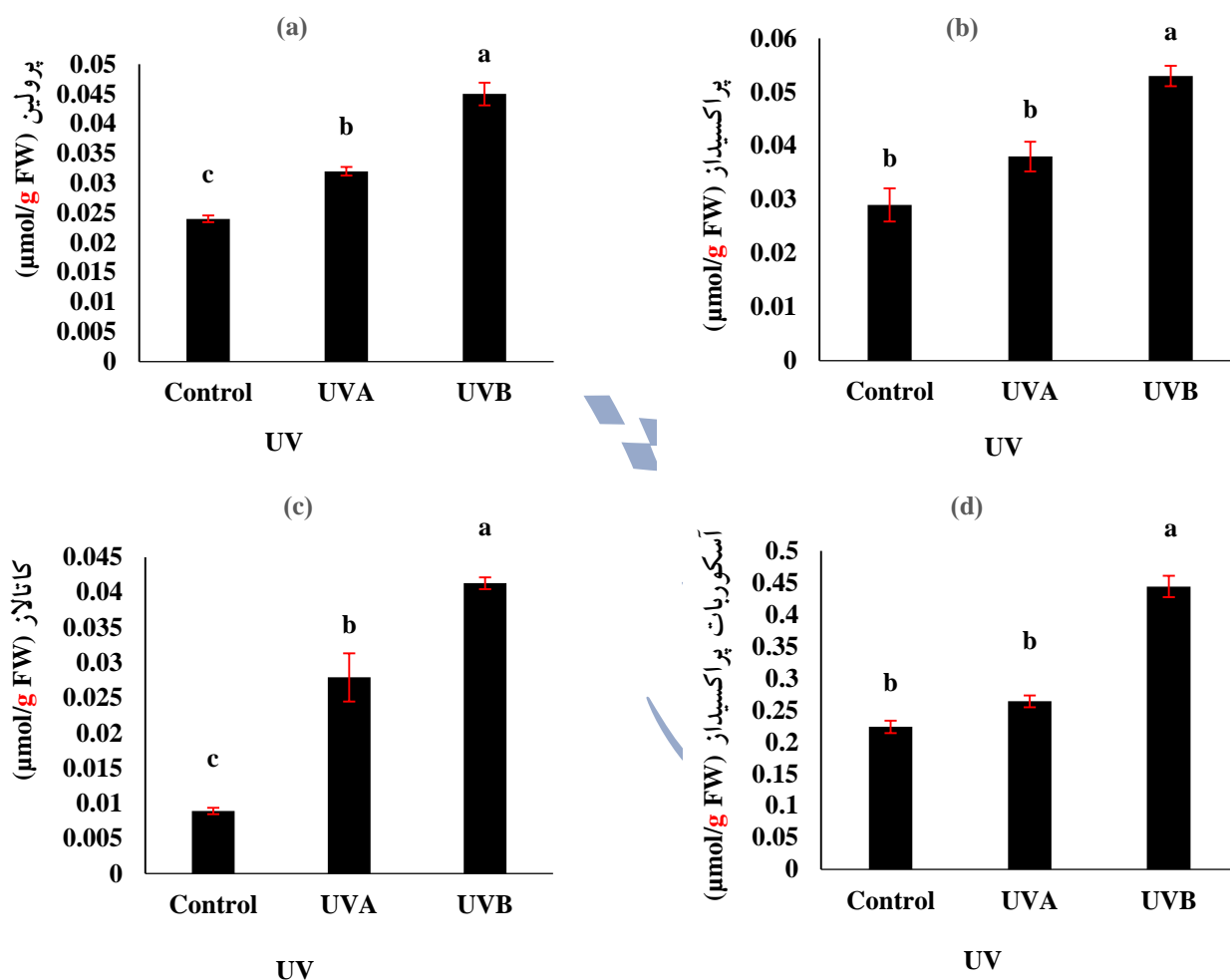


شکل ۳- اثر تابش پرتو فرابنفش آ و ب بر محتوای (a) کلروفیل *a* (b) کلروفیل *b* (c) کلروفیل کل و (d) کاروتنوئید رزماری

(میانگین‌های دارای حروف مشابه، براساس آزمون LSD در سطح احتمال ۵ درصد اختلاف معنی‌داری ندارند)

پروکلین و آنزیم‌های آنتی‌اکسیدانی: نتایج تحقیق حاضر نشان داد که میزان پروکلین و فعالیت آنزیم‌های آنتی‌اکسیدانی پراکسیداز، کاتالاز و آسکوربات پراکسیداز در اندام هوایی رزماری تحت تیمار پرتو فرابنفش-ب در مقایسه با تیمار شاهد به‌طور معنی‌داری افزایش یافت. بالاترین میزان پروکلین، پراکسیداز، کاتالاز و آسکوربات پراکسیداز (به ترتیب با ۰/۰۴۵، ۰/۰۵۳، ۰/۰۴۱۳ و ۰/۴۴۴ میکرومول برگرم وزن تر) در تیمار فرابنفش-ب مشاهده گردید. تیمار فرابنفش-آ نیز منجر به افزایش معنی‌دار میزان پروکلین و کاتالاز در مقایسه با شاهد شد (شکل ۴).

این مقاله نهایی نیست و پس از انتشار تغییراتی خواهد داشت.



شکل ۴) اثر تابش پرتو فرابنفش آ و ب بر محتوای (a) پرولین و فعالیت آنزیم‌های (b) پراکسیداز، (c) کاتالاز و (d) آسکوربات پراکسیداز رزماری (میانگین‌های دارای حروف مشابه، براساس آزمون LSD در سطح احتمال ۵ درصد اختلاف معنی‌داری ندارند)

پروکلین مولکول آلی مهمی است که در بسیاری از گیاهان در تنش‌های زیست محیطی مانند خشکی، شوری، دمای بالا، یخ زدگی، پرتو فرابنفش و فلزات سنگین تجمع می‌یابد. پروکلین به تنظیم اسمزی و حفاظت از ساختارهای درون سلول منجر می‌شود، به طوری که در برخی گزارش‌ها همبستگی قوی بین تجمع پروکلین و مقاومت گیاهان به تنش‌های محیطی نشان داده شده است (Ashraf and Foolad, 2007). شواهد قابل ملاحظه‌ای وجود دارد که سطوح بالای پروکلین ساختار و فعالیت پروتئین‌ها را حفاظت می‌کند، تجزیه آنزیم را کاهش می‌دهد و غشاها را از آسیب ناشی از رادیکال‌های آزاد و گونه‌های شیمیایی واکنش‌پذیر دیگر حفاظت می‌کند (جدیدی و همکاران، ۱۴۰۱). نتایج Mahdavian (۲۰۰۸) نشان داد که پرتو فرابنفش ب و ث باعث افزایش غلظت پروکلین در برگ‌های فلفل دلمه‌ای شد. پروکلین در کاهش اسید سیتوزولی مرتبط با چندین تنش غیر زیستی نقش دارد. حذف H^+ اضافی که در نتیجه سنتز پروکلین اتفاق می‌افتد ممکن است تأثیر

این مقاله نهایی نیست و پس از انتشار تغییراتی خواهد داشت.

مثبتی بر کاهش آسیب ناشی از پرتو فرابنفش ب و ث داشته باشد. بنابراین می توان اذعان کرد که تجمع پرولین ناشی از پرتو فرابنفش، از گیاهان در برابر فرآیندهای پراکسیداسیون تحریک شده توسط پرتو فرابنفش محافظت می کند (Mumivand et al., 2022).

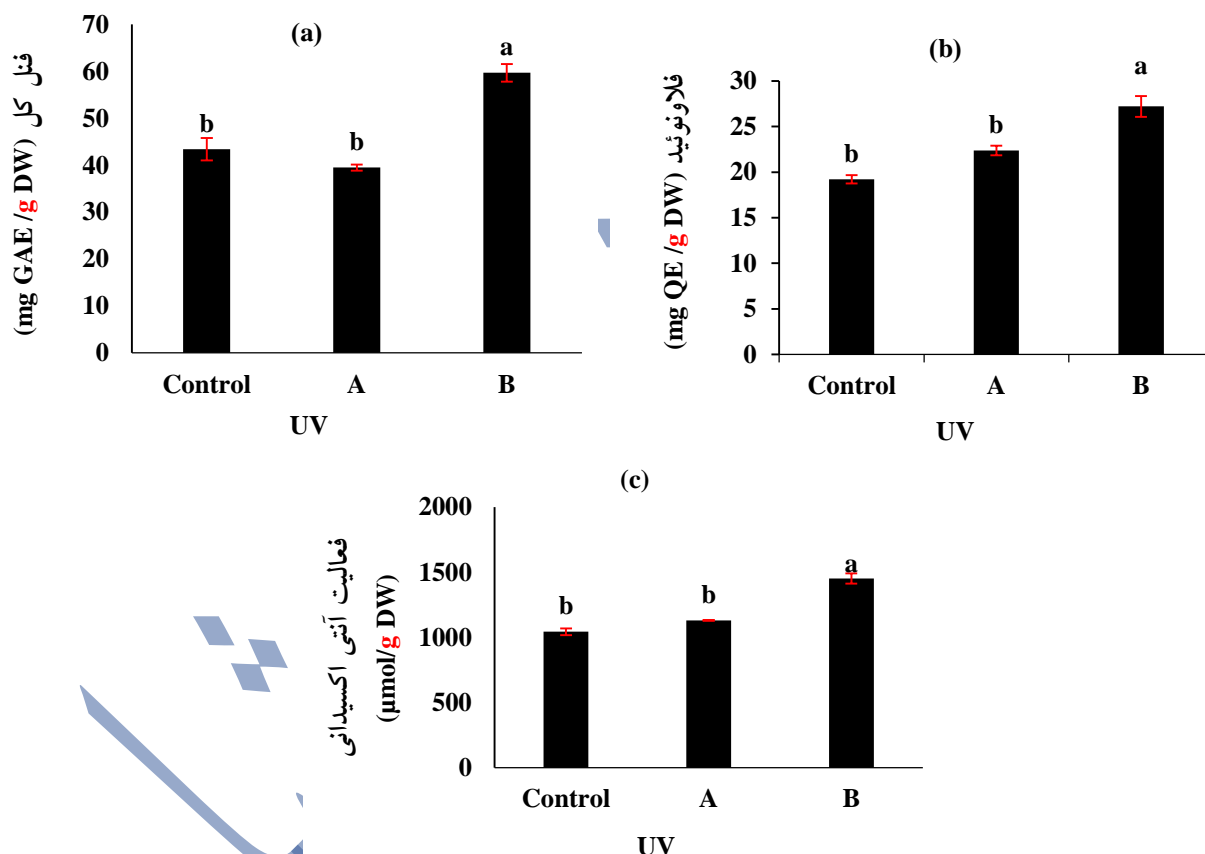
در برخی گزارشها همبستگی مثبتی بین تجمع پرولین و مقاومت گیاهان به تنش های محیطی نشان داده شده است (Ashraf and Foolad, 2007). مطالعات انجام شده روی گیاه بارهنگ (*Plantago major*) و پنیرک (*Malva parviflora*) نشان داده است که تحت تاثیر تابش فرابنفش میزان اسیدآمینو پرولین در اندام هوایی و ریشه افزایش می یابد (Salama et al., 2011). همچنین Salama و همکاران (۲۰۱۱) علت افزایش پرولین تحت تاثیر پرتو فرابنفش را تحریک سنتز آن (در ارتباط با غلظت اسیدآبسیزیک)، جلوگیری از اکسیداسیون پرولین و مهار سنتز پروتئین ها بیان کرده اند. در تحقیقی لاله عباسی (۱۳۹۵) نشان داد که میزان پرولین ریشه و اندام هوایی گیاه ریحان تحت تاثیر پرتو فرابنفش-ب افزایش یافت.

تمام موجودات هوازی از جمله گیاهان، مکانیسم های دفاعی آنزیمی و غیر آنزیمی مختلفی را برای سم زدایی ROSها و کاهش تنش اکسیداتیو ایجاد کرده اند. سیستم دفاعی آنتی اکسیدانی آنزیمی شامل آنزیم هایی مانند سوپراکسید دیسموتاز (SOD)، کاتالاز (CAT) و پراکسیدازها (مانند گلوکاتایون پراکسیداز و آسکوربات پراکسیداز) است. پراکسیدازها همپروتئین های مونومر هستند که با استفاده از طیف گسترده ای از سوسترها، مانند زیر واحدهای لیگنین، غشاهای لیپیدی و برخی زنجیره های جانبی اسید آمینه، پراکسید را کاهش می دهند. این آنزیم ها در طیف وسیعی از فرآیندهای فیزیولوژیکی، مانند اتصال متقابل اجزای دیواره سلولی، متابولیسم اکسین، پاسخ به شرایط تنش زا، همزیستی و افزایش طول سلول نقش دارند (Lazarotto, 2011). در مطالعه ای که توسط Rác و همکاران (2018) روی گیاه تنباکو به انجام رسید مشخص شد که با افزایش میزان پرتو فرابنفش-ب گیاه برای مقابله با تنش ایجاد شده میزان پراکسیداز را افزایش داد. همچنین افزایش فعالیت ایزوآنزیم های پراکسیداز در پاسخ به دوزهای بسیار بالای پرتو فرابنفش-ب در نهال های آفتابگردان، Yannarelli (۲۰۰۶)؛ و گندم سیاه (*Fagopyrum esculentum*)، Jovanovic (۲۰۰۶) نیز گزارش شده است که با نتایج مطالعه حاضر همخوانی دارد. در پژوهش Majer و همکاران (۲۰۱۴) مشخص شد که فعالیت فرابنفش-ب باعث افزایش فعالیت پراکسیداز در گیاهان تنباکو می شود، اگر چه این گیاهان در پاسخ به پرتو فرابنفش افزایش فعالیت کاتالاز را نشان ندادند. در مطالعه حاضر پرتو فرابنفش باعث افزایش فعالیت آنزیم های پراکسیداز، کاتالاز و آسکوربات پراکسیداز شد. با این حال تیمار فرابنفش-آ تاثیر کمتری در افزایش فعالیت آنزیم ها داشته است. با توجه به اینکه پرتو فرابنفش-آ قسمت کم خطر پرتو فرابنفش است، این نتایج قابل انتظار است. تنش زا نبودن فرابنفش-آ در بسیاری از گونه های گیاهی قبلاً گزارش شده است (شایگان فر و همکاران، ۱۳۹۶؛ رستگار و همکاران، ۱۳۹۹). در تطابق با نتایج مطالعه حاضر، Santos و همکاران (۲۰۰۴) نیز عنوان کردند که پرتو فرابنفش باعث افزایش فعالیت آنزیم های آنتی اکسیدان سیب زمینی شد. همچنین رستگار و همکاران (۱۳۹۹) نیز گزارش کردند که فعالیت آنزیم های آنتی اکسیدانی کاتالاز و پراکسیداز در گل گندم با تیمار فرابنفش-ب افزایش یافت. بر خلاف این، با تیمار فرابنفش فعالیت آنزیم آسکوربات پروکسیداز در آفتابگردان تغییری پیدا نکرد (Costa et al., 2006). پرتو فرابنفش باعث افزایش فعالیت آنزیم های آنتی اکسیدانی شامل کاتالاز، پراکسیداز و سوپراکسید دیسموتاز در شنبلیل شد (حاجی پور و همکاران، ۱۳۹۹). فنول، فلاونوئید و فعالیت آنتی اکسیدانی: تیمار فرابنفش-ب باعث افزایش میزان فنل کل، فلاونوئید کل و فعالیت آنتی اکسیدانی (به ترتیب به میزان ۳۷/۵۴، ۴۱/۵۹ و ۳۹/۱۶ درصد) در مقایسه با شاهد شد. بیشترین میزان فنل کل، فلاونوئید

این مقاله نهایی نیست و پس از انتشار تغییراتی خواهد داشت.

مجله فرایند و کارکرد گیاهی

کل و فعالیت آنتی اکسیدانی (به ترتیب با ۵۹/۷، ۲۷/۲ و ۱۴۵۲ میلی گرم اسید گالیک، میلی گرم کوئرستین، میکرومول بر گرم وزن خشک) در تیمار فرابنفش-ب مشاهده گردید. در حالی که تیمار فرابنفش-آ هیچ تاثیری بر میزان فنل کل، فلاونوئید کل و فعالیت آنتی اکسیدانی رزماری نداشت (شکل ۵).



شکل ۵: اثر پرتو فرابنفش آ و ب بر محتوای (a) فنل کل، (b) فلاونوئید کل و (c) فعالیت آنتی اکسیدانی رزماری (میانگین‌های دارای حروف مشابه، براساس آزمون LSD در سطح احتمال ۵ درصد اختلاف معنی‌داری ندارند)

کاربرد دارویی رزماری غالباً به دلیل فعالیت آنتی اکسیدانی بالای عصاره آن است که به ترکیبات فنلی و تریپنی آن شامل کارنوسول، اسید کارنوزیک، اسید اورسولیک، رزمارینیک اسید و کافئیک اسید مربوط می‌شود. نتایج این مطالعه نشان داد که فعالیت آنتی اکسیدانی عصاره این گیاه در مواجهه با پرتو فرابنفش ب افزایش یافت. میزان فنول و فلاونوئید کل گیاه نیز با تیمار فرابنفش-ب افزایش نشان داد. فلاونوئیدها ترکیبات کلاسیک تحت کنترل پرتو فرابنفش-ب در گیاهان هستند. فنیل آلانین آمونیاپاز (PAL) و چالکون سنتاز (CHS) آنزیم‌هایی کلیدی در مسیر بیوسنتزی فلاونوئیدها هستند فعالیت آن‌ها با تابش پرتو فرابنفش-ب افزایش می‌یابد. یکی از سازوکارهای حفاظتی گیاهان تحت شرایط تنش‌های محیطی، افزایش تولید پاداکساینده‌های غیرآنزیمی از جمله اسید آسکوربیک، کاروتنوئیدها، فلاونوئیدها، آنتوسیانین‌ها و آلکالوئیدها است. با این حال، موثرترین مکانیسم حفاظتی غیرآنزیمی تحریک شده توسط یک رژیم نوری، بیوسنتز

این مقاله نهایی نیست و پس از انتشار تغییراتی خواهد داشت.

مجله فرایند و کارکرد گیاهی

فلاونوئیدها و ترکیبات فنلی جذب کننده پرتو فرابنفش است. علاوه بر این، انباشت جاذب‌های نوری در اپیدرم برگ از جمله فلاونوئیدها و کاوتنوئیدها در چنین شرایطی افزایش می‌یابد (Takahashi and Badger, 2011). این ترکیبات جزو آنتی‌اکسیدان‌های غیر آنزیمی محسوب شده و در شرایط تنش‌های غیر زیستی در جاروب کردن رادیکال‌های آزاد و گونه‌های فعال اکسیژن نقش فعالی ایفا می‌کنند (Dicko et al., 2005).

یکی از مسیرهای متابولیکی گیاهان که تحت تاثیر پرتو فرابنفش قرار می‌گیرد مسیر بیوسنتز ترکیبات فنولی است. در این مسیر علاوه بر فلاونوئیدها، فنول‌های ساده، تانن‌ها و لیگنین‌ها نیز سنتز می‌شوند. ترکیبات فنلی باعث حفاظت سلول‌ها در برابر ROSها می‌شوند. در واقع عملکرد پاداکسایشی فنول‌ها به صورت یک تبدیل یک طرفه به رادیکال‌های فنوکسی به واسطه‌ی یک آنزیم یا به طور غیرمستقیم انجام می‌گیرد. این رادیکال‌های تولید شده می‌توانند به وسیله‌ی ترکیبات دیگری مانند اسید آسکوربیک احیا شوند. در پژوهشی Erkan و همکاران (۲۰۰۸) افزایش میزان فنل کل را در میوه توت فرنگی تحت تاثیر پرتو فرابنفش گزارش کردند؛ آن‌ها علت این افزایش را نقش پاداکسایشی فنول‌ها عنوان کردند. همچنین مطالعات روی بامیه، کارگرخرمی و همکاران (۱۳۹۲)؛ گل کلم، Costa و همکاران (۲۰۰۶) و دو رقم جو، محمدی و همکاران (۱۳۹۹) نیز نشان داده است که میزان فنل کل تحت تاثیر نور فرابنفش افزایش می‌یابد. یافته‌های مطالعه ما در این زمینه همسو با نتایج مطالعات دیگر محققان در زمینه بررسی اثر پرتو فرابنفش-ب بر محتوای فنول و فلاونوئید گیاه مرزه، Abrun (۲۰۱۶) و اثر پرتو فرابنفش آ، ب و ث بر محتوای فنول و فلاونوئیدی گیاه کاهو، Lee و همکاران (۲۰۱۴) بود.

فلاونوئیدها و دیگر فنولیک‌ها، آنتوسیانین‌ها، اسانس‌ها، ترپنوئیدها، کاناپینوئیدها، گلوکوزینولات‌ها، ایزوتیوسیانات‌ها و ترکیبات دارای فعالیت هورمونی تولید شده در گیاهان دارویی، فعالیت‌های مختلفی به‌عنوان تنظیم‌کننده‌های رشد، آنتی‌اکسیدان، بازدارنده‌های آنزیمی، سیگنال‌ها و همچنین غربال پرتوهای فرابنفش را بر عهده دارند که در اپیدرم برگ‌ها و دیگر اندام‌های هوایی جایابی می‌شوند (Ravishankara, 2010). فلاونوئیدها یکی از ترکیباتی هستند که بیان ژن‌های آن‌ها تحت تاثیر پرتو فرابنفش افزایش می‌یابد. در بین متابولیت‌های ثانویه، فلاونوئیدها دارای بیش‌ترین تعداد گروه‌های هیدروکسیل هستند و با این ویژگی می‌توانند در حذف ROSها نقش مؤثرتری داشته باشند. فلاونوئیدها می‌توانند به‌صورت باند شده به دیواره سلولی و یا به صورت آزاد در واکوئل سلول‌های مزوفیل وجود داشته باشند. فلاونوئیدهای موجود در دیواره و متصل به کوتیکول می‌توانند به‌عنوان جاذب پرتو فرابنفش عمل کنند و از نفوذ آن به قسمت‌های داخلی جلوگیری نمایند. اما فلاونوئیدهای موجود در واکوئل نقش پاد اکسایدگی دارند، این نوع فلاونوئیدها سبب کاهش گسترش سلولی و در نهایت کاهش سطح برگ می‌شوند (Mumivand et al., 2021b).

افزایش مقدار فلاونوئیدها در تیمار با پرتو فرابنفش از خصوصیات دفاعی برخی گیاهان در برابر پرتو فرابنفش است. این ترکیب‌ها با فیلتر کردن پرتو فرابنفش و جلوگیری از نفوذ آن به درون بافت‌های حساس از ایجاد خسارت جلوگیری می‌کنند و یا نقش آنتی‌اکسیدانی در برابر رادیکال‌های آزاد ناشی از تنش پرتو فرابنفش در گیاه ایفا نموده و تنش اکسیداتیو را تخفیف می‌دهند. همچنین Germ و همکاران (۲۰۱۰) گزارش کردند که با افزایش پرتو فرابنفش-ب مقدار فلاونوئیدها در برگ‌ها و گل‌های گیاه گل راعی به‌طور معنی‌داری افزایش یافت. افزایش محتوای فلاونوئیدها تحت تاثیر نور فرابنفش در زغال اخته، González-Villagra و همکاران (۲۰۲۰)؛ و سیب زمینی، Santos و همکاران (۲۰۰۴) نیز گزارش شده است که با نتایج ما در این پژوهش همخوانی دارد. در تطابق با نتایج مطالعه ما تابش پرتو فرابنفش-ب در گیاه سوسن صغیر منجر به افزایش معنی‌دار کاروتنوئیدها و فلاونوئیدها گردید (Kumari et al., 2010).

این مقاله نهایی نیست و پس از انتشار تغییراتی خواهد داشت.



تصویری از گیاهان رزماری تیمار شده به ترتیب از راست به چپ: شاهد، تابش فرابنفش آ و فرابنفش ب (۱۰ ماه بعد از تکثیر قلمه‌ها)

نتیجه گیری کلی

نتایج حاصل از این مطالعه نشان داد که پرتو فرابنفش-ب باعث وارد آمدن آسیب‌هایی به گیاه رزماری شد و گیاه از لحاظ مورفولوژیکی و فیزیولوژیکی دچار تغییراتی گردید. کاهش وزن خشک اندام هوایی، ارتفاع بوته و مقدار کلروفیل a و b کل تحت تیمار فرابنفش-ب مشاهده گردید. در حالی که تیمار فرابنفش-آ اثرات مخرب کمتری بر گیاه داشت و تنها منجر به کاهش میزان کلروفیل a و b کل گردید. میزان مالون دی آلدید نیز با تیمار فرابنفش آ و ب افزایش نشان داد. در چنین شرایطی گیاه با افزایش میزان آنتی اکسیدان‌های آنزیمی مانند کاروتنوئید، فنل و فلاونوئید کل، افزایش فعالیت آنتی اکسیدان‌های غیر آنزیمی مانند آنزیم‌های پراکسیداز، کاتالاز و آسکوربات پراکسیداز و همچنین تولید مقادیر بیشتر پرولین، در برابر آسیب‌های ناشی از فرابنفش-ب به عنوان مکانیسم دفاعی واکنش نشان داد. در حالی که فرابنفش-آ تنها منجر به افزایش میزان پرولین و فعالیت آنزیم‌های آنتی اکسیدانی کاتالاز و پراکسیداز گردید. در پایان، افزایش ترکیبات جاذب فرابنفش مانند فنل، فلاونوئید و کاروتنوئید باعث افزایش ظرفیت آنتی اکسیدانی عصاره رزماری گردید. بنابراین می‌توان گفت گیاهان رزماری در معرض تابش فرابنفش-ب از نظر خاصیت دارویی و بیولوژیکی از کیفیت بالاتری برخوردار خواهند بود.

منابع:

- جدیدی، مریم، مومیوند، حسن، احتشام‌نیا، عبدالله. و شایگان فر، علیرضا. (۱۴۰۱) تأثیر پرتو فرابنفش و شدت نور بر خصوصیات مورفو- فیزیولوژی و زیتوده گیاهی شمعدانی عطری (*Pelargonium graveolens* L'Heritier)، مجله فرآیند و کارکرد گیاهی، ۸۴: ۳۱۳-۲۹۹. <http://dorl.net/dor/20.1001.1.23222727.1401.11.48.19.0>
- حاجی پور، زهرا، مومیوند، حسن، شایگان فر، علیرضا. و ابراهیمی، امین. (۱۳۹۹) تأثیر تابش پرتوی فرابنفش و محلول پاشی برخی از تنظیم کننده های رشد بر ویژگیهای عملکردی و ظاهری شنبلیله (*Trigonella foenum-graecum* L.)، مجله پژوهش های تولید گیاهی، ۲۹: ۱۵۴-۱۳۳. <https://doi.org/10.22069/jopp.2021.18867.2785>
- رستگار، مهدی، مومیوند، حسن، رضایی نژاد، عبدالحسین. و شایگانفر، علیرضا. (۱۳۹۹) ارزیابی پاسخ‌های مورفوفیزیولوژیکی، فنولوژیکی و فیتوشیمیایی سه رقم گل گندم (*Centaurea cyanus*) تحت تابش پرتو فرابنفش (UV-A و UV-B)، پایان نامه کارشناسی ارشد، دانشگاه لرستان، خرم آباد، ایران.

این مقاله نهایی نیست و پس از انتشار تغییراتی خواهد داشت.

ساریخانی، حسن. (۱۳۹۲) تأثیر نور فرابنفش A بر رشد و برخی از ویژگی‌های فیزیولوژیکی نعناع فلفلی (*Mentha piperita*). مجله فناوری تولیدات گیاهی، ۱۳: ۳-۴۴.

شاهبداغلو، علیرضا، عزیزی، علی، ساریخانی، حسن، و رجبی، محسن. (۱۳۹۴) پیامدهای پرتوهای با نور فرابنفش A بر ظرفیت آنتی‌اکسیدانی، سینارین و برخی ویژگی‌های مورفوفیزیولوژیک سه رقم آرتیشو (*Cynara scolymus L.*). مجله علوم و فنون کشت‌های گلخانه‌ای، ۲۸: ۱۰۹-۹۷. <http://dx.doi.org/10.18869/acadpub.ejgcst.7.4.97>

شایگان‌فر، علیرضا، عزیزی ارانی، مجید، و رسولی، موسی. (۱۳۹۶) بررسی تاثیرات سطوح متفاوت پرتو فرابنفش همراه با کاربرد ترکیبات آنتی‌اکسیدانی مختلف بر واکنش‌های مرفولوژی، فنولوژی، فیزیولوژی و فیتوشیمیایی سه گونه آویشن، رساله دکتری، دانشگاه فردوسی مشهد، مشهد، ایران.

صالحی ساردویی، علی، و خلیلی، حلیمه. (۱۳۹۹) فیتوشیمی گیاهان دارویی. جلد ۱، انتشارات نوروزی، گرگان.

قناتی، فائزه، احمدی، زهرا، و عبدالمالکی، پرویز. (۱۳۸۵) تأثیر پرتو فرابنفش C بر برخی از پارامترهای فیزیولوژیکی در گیاه صبر زرد (*Aloe vera L.*). فصلنامه علمی - پژوهشی تحقیقات گیاهان دارویی و معطر ایران، ۲۲: ۳۱۵-۳۳۱.

قندالی دوست، زهرا، حسینی، سیاوش، و جامعی، رشید. (۱۳۸۹) بررسی پارامترهای رشد و عوامل فیزیولوژیکی گیاه شاهدانه *Cannabis indica* تحت اثر باند های مختلف اشعه ماوراء بنفش، همایش ملی تنوع زیستی و تاثیر آن بر کشاورزی و محیط زیست، ارومیه، ایران.

کارگرخرمی، سروش، جامعی، رشید، و حسینی سرقین، سیاوش. (۱۳۹۲) تغییرات در پارامترهای فیزیولوژیکی و آناتومیکی گیاه بامیه (*Hibiscus esculentus L.*) تحت باندهای مختلف اشعه فرابنفش، مجله زیست شناسی گیاهی، ۱۶: ۲۶-۱۳. <https://dorl.net/dor/20.1001.1.20088264.1392.5.16.3.1>

لاله عباسی، نرمین. (۱۳۹۵) تأثیر همزیستی فارچ‌های میکوریز آربوسکوالر بر شاخص‌های بیوشیمیایی و فیزیولوژیکی گیاه دارویی ریحان (*Ocimum basilicum L.*) تحت تنش UV-B، پایان نامه کارشناسی ارشد، دانشگاه ارومیه، ارومیه، ایران.

محمدی، وحید احمد، زارعی، حسین، و موسوی زاده، جواد. (۱۳۹۹) پاسخ‌های مورفولوژیک و بیوشیمیایی گیاه ریحان تحت تیمار نور ماورای بنفش B و کم‌آبایی در شرایط گلخانه، مجله علوم و فنون کشت‌های گلخانه‌ای، ۱۱: ۸۵-۱۰۱. <http://dx.doi.org/10.47176/jspi.11.1.18841>

- Abrun, A., Fattahi, M., Hassani, A., & Avestan, S. (2016). Salicylic Acid and UV-B/C Radiation Effects on Growth and Physiological Traits of *Satureja hortensis L.* *Notulae Scientia Biologicae* 8, 170-175. <https://doi.org/10.15835/nsb829784>.
- Ashraf, M., & Foolad, M. R. (2007). Roles of glycine betaine and proline in improving plant abiotic stress resistance. *Environmental and Experimental Botany*, 59, 206-216. <https://doi.org/10.1016/j.envexpbot.2005.12.006>.
- Banjaw, D., Wolde, T. G., Gebre, A., & Mengesha, B. (2016). Rosemary (*Rosmarinus officinalis L.*) variety verification trial at Wondogenet, South Ethiopia. *Med Aromat Plants (Los Angel)*, 5(267), 2167-0412. <https://doi.10.4172/2167-0412.1000267>.
- Bates, L. S., Waldren, R. A., & Teare, I. D. (1973). Rapid determination of free proline for water-stress studies. *Plant and soil*, 39, 205-207. <https://doi.org/10.1007/BF00018060>.
- Benzie, I. F., & Strain, J. J. (1996). The ferric reducing ability of plasma (FRAP) as a measure of "antioxidant power": the FRAP assay. *Analytical biochemistry*, 239(1), 70-76. <https://doi.org/10.1006/abio.1996.0292>.
- Chaki, M., Begara-Morales, J. C., & Barroso, J. B. (2020). Oxidative stress in plants. *Antioxidants*, 9(6), 481. <https://doi.org/10.3390/antiox9060481>.
- Chance, B., & Maehly, A.C. (1955). Assay of catalases and peroxidases. *Methods in Enzymologist* 11, 764-755. [http://dx.doi.org/10.1016/S0076-6879\(55\)02300-8](http://dx.doi.org/10.1016/S0076-6879(55)02300-8).

این مقاله نهایی نیست و پس از انتشار تغییراتی خواهد داشت.

- Costa, L., Vicente, A. R., Civello, P. M., Chaves, A. R., & Martínez, G. A. (2006). UV-C treatment delays postharvest senescence in broccoli florets. *Postharvest Biology and Technology* 39, 204-210. <https://doi.org/10.1016/j.postharvbio.2005.10.012>.
- Dicko, M. H., Gruppen, H., Barro, C., Traoré, A. S., van Berkel, W. J., & Voragen, A. G. (2005). Impact of phenolic compounds and related enzymes in sorghum varieties for resistance and susceptibility to biotic and abiotic stresses. *Journal of Chemical Ecology*, 31, 2671-2688. <https://doi.org/10.1007/s10886-005-7619-5>.
- Erkan, M., Wang, S. Y., & Wang, C. Y. (2008). Effect of UV treatment on antioxidant capacity, antioxidant enzyme activity and decay in strawberry fruit. *Postharvest Biology and Technology*, 48(2), 163-171. <https://doi.org/10.1016/j.postharvbio.2007.09.028>.
- Germ, M., Stibilj, V., Kreft, S., Gaberscik, A., & Kreft, I. (2010). Flavonoid, tannin and hypericin concentrations in the leaves of St. John's wort (*Hypericum perforatum* L.) are affected by UV-B radiation levels. *Food Chemistry* 122, 471-474. <https://doi.org/10.1016/j.foodchem.2010.03.008>.
- González-Villagra, J., Marjorie, R. D., Alberdi, M., Acevedo, P., Loyola, R., Tighe-Neira, R., ... & Inostroza-Blancheteau, C. (2020). Solar UV irradiation effects on photosynthetic performance, biochemical markers, and gene expression in highbush blueberry (*Vaccinium corymbosum* L.) cultivars. *Scientia Horticulturae*, 259, 108816. <https://doi.org/10.1016/j.scienta.2019.108816>.
- Han, D., Li, X., Xiong, S., Tu, S., Chen, Z., Li, J., & Xie, Z. (2013). Selenium uptake, speciation and stressed response of *Nicotiana tabacum* L. *Environmental and Experimental Botany*, 95, 6-14. <https://doi.org/10.1016/j.envexpbot.2013.07.001>.
- Jovanovic, Z. S., Milosevic, J. D., & Radovic, S. R. (2006). Antioxidative enzymes in the response of buckwheat (*Fagopyrum esculentum* Moench) to ultraviolet B radiation. *Journal of agricultural and food chemistry*, 54(25), 9472-9478. <https://doi.org/10.1021/jf061324v>.
- Krizek, D. T., Mirecki, R. M., & Britz, S. J. (1997). Inhibitory effects of ambient levels of solar UV-A and UV-B radiation on growth of cucumber. *Physiologia Plantarum*, 100(4), 886-893. <https://doi.org/10.1111/j.1399-3054.1997.tb00014.x>.
- Kumari, R., & Agrawal, S. B. (2010). Supplemental UV-B induced changes in leaf morphology, physiology and secondary metabolites of an Indian aromatic plant *Cymbopogon citratus* (DC) Stapf under natural field conditions. *International Journal of Environmental Studies*, 67(5), 655-675. <https://doi.org/10.1080/00207233.2010.513828>.
- Lazzarotto, F., Teixeira, F. K., Rosa, S. B., Dunand, C., Fernandes, C. L., de Vasconcelos Fontenele, A., ... & Margis-Pinheiro, M. (2011). Ascorbate peroxidase-related (APx-R) is a new heme-containing protein functionally associated with ascorbate peroxidase but evolutionarily divergent. *New Phytologist*, 191(1), 234-250. <https://doi.org/10.1111/j.1469-8137.2011.03659.x>.
- Lee, M. J., Son, J. E., & Oh, M. M. (2014). Growth and phenolic compounds of *Lactuca sativa* L. grown in a closed-type plant production system with UV-A, -B, or -C lamp. *Journal of the Science of Food and Agriculture*, 94(2), 197-204. <https://doi.org/10.1002/jsfa.6227>.
- Lichtenthaler, H. K. (1987). [34] Chlorophylls and carotenoids: pigments of photosynthetic biomembranes. *Methods in enzymology*, 148, 350-382. [https://doi.org/10.1016/0076-6879\(87\)48036-1](https://doi.org/10.1016/0076-6879(87)48036-1).
- Lutts, S., Kinet, J. M., & Bouharmont, J. (1996). NaCl-induced senescence in leaves of rice (*Oryza sativa* L.) cultivars differing in salinity resistance. *Annals of botany*, 78(3), 389-398. <https://doi.org/10.1006/anbo.1996.0134>.
- Lutz, C., Schonauer, E., & Neuner, G. (2005). Physiological adaptation to early spring conditions in green overwintering leaves of some alpine plants. *Phyton*, 45, 139-156.
- MacAdam, J. W., Nelson, C. J., & Sharp, R. E. (1992). Peroxidase activity in the leaf elongation zone of tall fescue: I. Spatial distribution of ionically bound peroxidase activity in genotypes differing in length of the elongation zone. *Plant Physiology*, 99(3), 872-878. <https://doi.org/10.1104/pp.99.3.872>.
- Maffei, M., Canova, D., Berteà, C. M., & Scannerini, S. (1999). UV-A effects on photomorphogenesis and essential-oil composition in *Mentha piperita*. *Journal of Photochemistry and Photobiology B: Biology*, 52(1-3), 105-110. [https://doi.org/10.1016/S1011-1344\(99\)00110-4](https://doi.org/10.1016/S1011-1344(99)00110-4).
- Mahdavian, K., Ghorbanli, M., & Kalantari, K. (2008). The effects of ultraviolet radiation on the contents of chlorophyll, flavonoid, anthocyanin and proline in *Capsicum annuum* L. *Turkish Journal of Botany*, 32(1), 25-33. <https://doi.org/10.1007/s10886-005-7619-5>.
- Majer, P., Czégény, G., Sándor, G., Dix, P. J., & Hideg, É. (2014). Antioxidant defence in UV-irradiated tobacco leaves is centred on hydrogen-peroxide neutralization. *Plant Physiology and Biochemistry*, 82, 239-243. <https://doi.org/10.1016/j.plaphy.2014.06.011>.

- McDonald, S., Prenzler, P. D., Antolovich, M., & Robards, K. (2001). Phenolic content and antioxidant activity of olive extracts. *Food chemistry*, 73(1), 73-84. [https://doi.org/10.1016/S0308-8146\(00\)00288-0](https://doi.org/10.1016/S0308-8146(00)00288-0).
- Mumivand, H., Ebrahimi, A., Morshedloo, M. R., & Shayganfar, A. (2021a). Water deficit stress changes in drug yield, antioxidant enzymes activity and essential oil quality and quantity of Tarragon (*Artemisia dracunculus* L.). *Industrial Crops and Products*, 164, 113381. <https://doi.org/10.1016/j.indcrop.2021.113381>.
- Mumivand, H., Khanizadeh, P., Morshedloo, M. R., Sierka, E., Żuk-Golaszewska, K., Horaczek, T., & Kalaji, H. M. (2021b). Improvement of growth, yield, seed production and phytochemical properties of *Satureja khuzistanica* jamzad by foliar application of boron and zinc. *Plants*, 10(11), 2469. <https://doi.org/10.3390/plants10112469>
- Mumivand, H., Shayganfar, A., Tsaniklidis, G., Emami Bistgani, Z., Fanourakis, D., and Nicola, S. (2022). Pheno-morphological and essential oil composition responses to UVA radiation and protectants: A case study in three *Thymus* species. *Horticulturae*, 8(1), 31. <https://doi.org/10.3390/horticulturae8010031>.
- Nakano, Y., & Asada, K. (1981). Hydrogen peroxide is scavenged by ascorbate-specific peroxidase in spinach chloroplasts. *Plant and cell physiology*, 22(5), 867-880. <https://doi.org/10.1093/oxfordjournals.pcp.a076232>.
- Neto, A. D. A., Prisco, J. T., Filho, J. E., Abreu, C. E. B., & Filho, E. G. (2006). Effect of salt stress on antioxidative enzymes and lipid peroxidation in leaves and roots of salt-tolerant salt sensitive maize genotypes. *Environmental and Experimental Botany*, 56, 87-94. <https://doi.org/10.1016/j.envexpbot.2005.01.008>.
- Posmyk, M. M., Kuran, H., Marciniak, K., & Janas, K. M. (2008). Presowing seed treatment with melatonin protects red cabbage seedlings against toxic copper ion concentrations. *Journal of pineal research*, 45(1), 24-31. <https://doi.org/10.1111/j.1600-079X.2007.00552.x>.
- Prasad, S. M., Dwivedi, R., & Zeeshan, M. (2005). Growth, photosynthetic electron transport, and antioxidant responses of young soybean seedlings to simultaneous exposure of nickel and UV-B stress. *Photosynthetica*, 43, 177-185. <https://doi.org/10.1007/s11099-005-0031-0>.
- Quettier-Deleu, C., Gressier, B., Vasseur, J., Dine, T., Brunet, C., Luyckx, M., ... & Trotin, F. (2000). Phenolic compounds and antioxidant activities of buckwheat (*Fagopyrum esculentum* Moench) hulls and flour. *Journal of ethnopharmacology*, 72(1-2), 35-42. [https://doi.org/10.1016/S0378-8741\(00\)00196-3](https://doi.org/10.1016/S0378-8741(00)00196-3).
- Rácz, A., Hideg, É., & Czégény, G. (2018). Selective responses of class III plant peroxidase isoforms to environmentally relevant UV-B doses. *Journal of plant physiology*, 221, 101-106. <https://doi.org/10.1016/j.jplph.2017.12.010>.
- Ravishankara, A.R., Paul A. Newman, John A. Pyle, and Ayité-Lô Ajavon. (2010) Scientific assessment of Ozone Depletion. Executive summary. Prepared by the scientific assessment panel of the Montreal protocol on substances that deplete the ozone layer. United Nations Environmental Protection Agency.
- Salama, H. M., Al Watban, A. A., & Al-Fughom, A. T. (2011). Effect of ultraviolet radiation on chlorophyll, carotenoid, protein and proline contents of some annual desert plants. *Saudi journal of biological sciences*, 18(1), 79-86. <https://doi.org/10.1016/j.sjbs.2010.10.002>.
- Santos, I., Fidalgo, F., Almeida, J. M., & Salema, R. (2004). Biochemical and ultrastructural changes in leaves of potato plants grown under supplementary UV-B radiation. *Plant Science*, 167(4), 925-935. <https://doi.org/10.1016/j.plantsci.2004.05.035>.
- Shaoshan, L., Yan, W., & Songhao, L. (2000). Effects of UV-B radiation on lipid peroxidation in rice seedlings. *Acta Laser Biology Sinica*, 9(1), 23-26.
- Shayganfar, A., Azizi, M., & Rasouli, M. (2018). Various strategies elicited and modulated by elevated UV-B radiation and protectant compounds in *Thymus* species: Differences in response over treatments, acclimation and interaction. *Industrial Crops and Products*, 113, 298-307. <https://doi.org/10.1016/j.indcrop.2018.01.056>.
- Takahashi, S., & Badger, M. R. (2011). Photoprotection in plants: a new light on photosystem II damage. *Trends in plant science*, 16(1), 53-60. <https://doi.org/10.1016/j.tplants.2010.10.001>.
- Tsurunaga, Y., Takahashi, T., Katsube, T., Kudo, A., Kuramitsu, O., Ishiwata, M., & Matsumoto, S. (2013). Effects of UV-B irradiation on the levels of anthocyanin, rutin and radical scavenging activity of buckwheat sprouts. *Food chemistry*, 141(1), 552-556. <https://doi.org/10.1016/j.foodchem.2013.03.032>.
- Verdager, D., Jansen, M. A., Llorens, L., Morales, L. O., & Neugart, S. (2017). UV-A radiation effects on higher plants: Exploring the known unknown. *Plant science*, 255, 72-81. <https://doi.org/10.1016/j.plantsci.2016.11.014>.

- Wang, Q. F., Hou, Y. H., Miao, J. L., & Li, G. Y. (2009). Effect of UV-B radiation on the growth and antioxidant enzymes of Antarctic sea ice microalgae *Chlamydomonas* sp. ICE-L. *Acta physiologiae plantarum*, 31, 1097-1102. [https://doi:10.1016/S0076-6879\(84\)05016-3](https://doi:10.1016/S0076-6879(84)05016-3).
- Yannarelli, G. G., Gallego, S. M., & Tomaro, M. L. (2006). Effect of UV-B radiation on the activity and isoforms of enzymes with peroxidase activity in sunflower cotyledons. *Environmental and Experimental Botany*, 56(2), 174-181. <https://doi.org/10.1016/j.envexpbot.2005.01.015>.



The effect of ultraviolet A and B radiation on morpho-physiological and antioxidants characteristics of rosemary (*Rosmarinus officinalis* L.)

Sahar Pirinezhad¹, Hasan Mumivand^{*2}, Abdollah Ehtsham Nia², Mohammad Reza Raji³

¹MSc. Student in Horticultural Science, Lorestan University, Iran

این مقاله نهایی نیست و پس از انتشار تغییراتی خواهد داشت.

² Associate Professor, Department of Horticultural Sciences, Faculty of Agriculture, Lorestan University, Iran

³ Assistant Professor, Department of Horticultural Sciences, Faculty of Agriculture, Lorestan University, Iran

Corresponding author e-mail: mumivand.h@lu.ac.ir

Abstract

Over the past few decades, human industrial activities have significantly reduced the blocking effect of the ozone layer in the stratosphere. As a consequence, there has been an increase in the penetration of ultraviolet (UV) radiation to the Earth's surface. This amplified exposure to UV rays poses a serious threat to living organisms, particularly plants. In our study, we investigated the impact of UV-A and UV-B radiation on some morpho-physiological traits as well as enzymatic and non-enzymatic antioxidants of rosemary (*Rosmarinus officinalis* L.). The study was conducted using a completely randomized design with three replications. UV radiation treatments were applied at three levels: control (no UV radiation), UV-A radiation, and UV-B radiation. The UV radiation was administered using broadband lamps manufactured by Q-Lab in the USA. These 40-watt lamps were employed for a duration of four hours per day. Our findings reveal that exposure to UV-B radiation resulted in a decrease in leaf dry weight, plant height, and the levels of chlorophyll a, b, and total chlorophyll by 29.57%, 13.44%, 17.7%, 33.77%, and 22.51%, respectively, compared to the control. Conversely, UV-B radiation led to an increase in the levels of non-enzymatic antioxidants such as carotenoids, phenols, and total flavonoids. Additionally, the activity of enzymatic antioxidants, including peroxidase, catalase, and ascorbate peroxidase enzymes, as well as the levels of proline and malondialdehyde, exhibited significant increases of 23.45%, 37.54%, 41.59%, 82.75%, 412.5%, 100%, 87.5%, and 359.32%, respectively, compared to the control. Regarding UV-A treatment, the levels of chlorophyll a, b, and total chlorophyll decreased. However, there was an increase in the levels of malondialdehyde, proline, and the activity of antioxidant enzymes catalase and peroxidase. Overall, the rosemary plants exposed to UV-B radiation exhibited higher quality in terms of medicinal and biological properties due to the increased presence of UV-absorbing compounds such as phenols, flavonoids, and carotenoids. However, it is worth noting that the yield of the plant decreased under UV-B treatment.

Keywords: Phenol, Flavonoid, Malondialdehyde, Photosynthetic pigments, Proline